



## اصلاح سطحی پلیمر پرشاخه پلی استرآمیدی با استفاده از اسید اکریلیک و مطالعه اثر آن بر گرانروی مونومر آکریلاتی TMPTA

فربد میرشاهی<sup>۱</sup>، سعید باستانی<sup>۲\*</sup>، مرتضی گنجایی ساری<sup>۴</sup>

۱- کارشناس ارشد، گروه پژوهشی پوشش‌های سطح و خودگی، موسسه پژوهشی علوم و فناوری رنگ و پوشش، تهران، ایران، صندوق پستی: ۱۶۷۶۵-۶۵۴

۲- دانشیار، گروه پژوهشی پوشش‌های سطح و خودگی، موسسه پژوهشی علوم و فناوری رنگ و پوشش، تهران، ایران، صندوق پستی: ۱۶۷۶۵-۶۵۴

۳- قطب علمی رنگ، موسسه پژوهشی علوم و فناوری رنگ و پوشش، تهران، ایران، صندوق پستی: ۱۶۷۶۵-۶۵۴

۴- استادیار، گروه پژوهشی نانوفناوری رنگ، موسسه پژوهشی علوم و فناوری رنگ و پوشش، تهران، ایران، صندوق پستی: ۱۶۷۶۵-۶۵۴

تاریخ پذیرش: ۹۳/۸/۲۵ در دسترس به صورت الکترونیکی از: ۱۳۹۳/۱۲/۲۰

### چکیده

در این تحقیق پلیمر پرشاخه پلی استرآمیدی با گروههای انتهاهی هیدروکسیل با استفاده از اسید اکریلیک اصلاح می‌شود. تبدیل گروههای هیدروکسیل به آکریلات این امکان را فراهم می‌کند تا پلیمر پرشاخه در سامانه تابش پز قابل استفاده گردد. اصلاح پلیمر پرشاخه از طریق واکنش استری شدن صورت می‌گیرد و شرایط مختلف مانند تغییر نسبت واکنش دهنده‌ها و زمان واکنش، منجر به اصلاح پلیمر پرشاخه با درصدهای تبدیل ۴۰ و ۶۵٪ می‌شود. شناسایی محصول از طریق طیف‌سنگی زیرقرمز (FT-IR)، رزونانس مغناطیس هسته‌ای (NMR) و گرماسنجی روبشی تفاضلی (DSC) صورت گرفت. بدین ترتیب که با افزایش میزان تبدیل، طول پیک مربوط به گروه هیدروکسیل در محدوده فرکانس  $1730-1750\text{ cm}^{-1}$  بزرگ‌تر شده است. از طرفی دیگر حضور ۳ پیک در محدوده ۵.۸-۶.۵ ppm در طیف H-NMR پلیمرهای اصلاح شده وجود هیدروژنهای گروه آکریلات را تایید می‌کند. اثر حضور پلیمرهای پرشاخه در گرانروی مونومر آکریلاتی نیز مورد ارزیابی و بحث قرار گرفت. نتایج اندازه‌گیری گرانروی مشخص کرد که با وجود افزایش پلیمرهای پرشاخه با جرم مولکولی بالا نسبت به مونومر، تغییرات چشمگیری در گرانروی رخ نمی‌دهد. واژه‌های کلیدی: پلیمر پرشاخه، پلی استر آمید، تابش پز، استری شدن، گرانروی.

## Surface Modification of Polyesteramide-Based Hyperbranched Polymer Using Acrylic Acid and Study of its Impact on the Viscosity of TMPTA

F. Mirshahi<sup>1</sup>, S. Bastani<sup>\*1,2</sup>, M. Ganjaee Sari<sup>3</sup>

<sup>1</sup> Department of Surface Coatings, Institute for Color Science and Technology, P.O.Box: 16765-654, Tehran, Iran.

<sup>2</sup> Center of Excellence for Color Science and Technology, Institute for Color Science and Technology, P.O.Box: 16765-654, Tehran, Iran.

<sup>3</sup> Department of Nanomaterials and Nanocoatings, Institute for Color Science and Technology, P.O.Box: 16688-14811, Tehran, Iran

Received: 14-11-2013

Accepted: 16-11-2014

Available online: 11-03-2015

### Abstract

In this study a polyester amide-based hyperbranched polymer with hydroxyl end-groups is modified by the aid of acrylic acid. Replacement of hydroxyl groups by acrylic ones provide this potential for the hyperbranched polymer to be used in radiation curable systems. The modification is carried out through esterification reactions and various conditions such as reactants ratios and reaction times, leads to two different degrees of polymerization of 40% and 65%. Products characterizations are performed by Fourier Transformation Infrared (FT-IR) spectroscopy, Nuclear Magnetic Resonance (NMR) and Differential Scanning Calorimetry (DSC). Accordingly, with increase of conversion, the peaks position at 3200-3500 and 1730-1750 have decreased and increased respectively which shows the reduction of the concentration of hydroxyl and augmentation of concentration of ester carbonyl groups. Besides, based on the HNMR spectrum, appearance of three peaks in the range of 5.8 to 6.5 ppm confirms the existence of hydrogen atoms of acrylate groups in the modified hyperbranched polymer. Also, the influence of the hyperbranched polymer on the viscosity of Trimethylol Propane Triacrylate (TMPTA) is investigated. The results demonstrated that no significant changes in viscosity are detectable yet a slight increment in viscosity occurs. J. Color Sci. Tech. 8(2014), 261-270©. Institute for Color Science and Technology.

**Keywords:** Hyperbranched polymers, Polyester amide, UV curable, Esterification, Viscosity.

سامانه‌های پلیمری که توسط تابش پخت می‌شوند کاربردهای فراوانی در صنایعی همچون پوشش، پوشنگ، جوهرهای چاپ، چسب‌ها، مواد کامپوزیتی و مواد ترمیمی دندان دارند [۱۸-۱۹].

در تحقیقی که دزونزویک و همکارانش [۱۹] انجام دادند، ابتدا پلیمر درختی ای را که دارای گروههای انتهایی هیدروکسیل بود، با اسید چرب سویا به صورت جزئی اصلاح کردند، سپس بخشی از گروههای هیدروکسیل باقیمانده را با مونومرهایی که از یک طرف دارای عاملیت ایزوسیانات و از طرف دیگر آکریلات دار بودند، واکنش دادند تا هیدروکسیل‌های باقیمانده با ایزوسیانات واکنش داده و تشکیل پیوند یورتانی بدده و طرف دیگر آن که عامل آکریلات دارد، بعداً در سازوکار پخت با پرتو فرابنفش شرکت کند. اصلاح بخشی از گروههای هیدروکسیل با اسید چرب، منجر به افت شدید گرانزوی شد، که علت این امر، کاهش برهمکنش‌های پیوند هیدروژنی بین گروههای هیدروکسیل انتهایی می‌باشد.

در تحقیق دیگری که همین محقق [۹] در سال ۲۰۱۱ انجام داد، مقایسه‌ای بین خواص گوناگون مخلوطهایی از پلیمرهای درختی و خطی انجام داد. در این تحقیق علاوه بر اصلاح پلیمر درختی با اسید چرب سویا-کاری که در تحقیق قبلی انجام داده بود- برخی از پلیمرهای درختی را با ایزونونانوئیک اسید<sup>۶</sup> اصلاح کرد و با هم مقایسه کرد. طبق بررسی‌های صورت گرفته مخلوط حاوی پلیمرهای درختی اصلاح شده با ایزونونانوئیک اسید نسبت به مخلوطهای حاوی پلیمر درختی اصلاح شده با اسید چرب سویا گرانزوی بالاتری دارند زیرا میزان پیوند هیدروژنی در حالتی که پلیمر درختی با زنجیرهای بلند غیرقطبی اسید چرب اصلاح شده باشد، کاهش می‌یابد. دزونزویک در مطالعاتی که انجام داده است سعی کرده است تا اثر اصلاح پلیمر پرشاخه را بر گرانزوی آن بررسی نماید.

به منظور استفاده پلیمرهای پرشاخه در پوشش‌های تابش پر، عموماً باید گروههای عاملی را با گروههای متاکریلات و یا آکریلات اصلاح کرد. این رزین‌ها در مقایسه با پلیمرهای غیراشباع خطی، گرانزوی کمتر و نرخ پخت بالاتری دارند. به دلیل ساختار منحصر به فرد و خواص ممتازی که پلیمرهای پرشاخه دارند، در صنعت پوشش‌های تابش پر بسیار مورد توجه قرار گرفته‌اند [۸].

هدف از انجام این تحقیق اصلاح سطحی پلیمر پرشاخه پلیاسترآمیدی با استفاده از گروههای غیراشباع اکریلیکی برای اولین بار و همچنین بررسی اثر میزان گروههای عاملی متفاوت بر گرانزوی محلول این پلیمر در مونومر آکریلاتی می‌باشد. همچنین از محصول حاصل از این تحقیق می‌توان در تحقیقات دیگر جهت بررسی خواص نهایی و پخت پوشش‌های تابش پر حاوی پلیمرهای تابش پر اصلاح شده یا اصلاح نشده استفاده کرد.

#### 6- Isononanoic acid

## ۱- مقدمه

پس از پلیمرهای خطی، شبکه‌ای و شاخه‌ای، پلیمرهای درختی<sup>۱</sup> به عنوان چهارمین نسل از معماری مولکولی بزرگ مولکول‌ها معرفی شدند. این نوع پلیمر دارای ساختار شاخه‌ای متراکم می‌باشد و تعداد زیادی گروه انتهایی<sup>۲</sup> بر روی آن قرار دارد. ساختار ویژه این پلیمرها به آنها خواص جریان‌پذیری و فرآیند پذیری فوق العاده‌ای می‌دهد، که این امر در سال‌های اخیر بسیار مورد توجه قرار گرفته است. تعداد بسیار زیاد گروههای فعال، امکان کنترل واکنش‌پذیری و خواص دیگری از قبیل گرانزوی، حلایت و چسبندگی را فراهم می‌آورد. این نوع پلیمر در زمینه‌هایی مانند پوشش، اصلاح کننده‌های رئولوژی، دارو، کاتالیست‌ها و غیره کاربرد دارد [۱۶].

پلیمرهای درختی بر اساس درجه کنترل ساختاری شان خود به سه زیرگروه پلیمرهای پرشاخه، پلیمرهای دندریگرفت و دندریمرها تقسیم می‌شوند. پلیمرهای پرشاخه نسبت به دو زیرگروه دیگر ساختار چندپراکنده<sup>۳</sup> نامنظم دارد. دندریمرها به دلیل مراحل متعدد سنتز و دارابودن ساختار تک پراکنده<sup>۴</sup> در مقایسه با پلیمرهای پرشاخه که معمولاً به صورت تک مرحله‌ای سنتز می‌شوند گران هستند و امکان تولید انبوه و صنعتی برای آن‌ها وجود ندارد. در بسیاری از کاربردها که نیازی به داشتن ساختاری کاملاتک پراکنده نمی‌باشد پلیمرهای پرشاخه با هزینه کم نیازهای کاربردی را برآورده می‌کنند. از این رو در سال‌های اخیر از بین انواع پلیمرهای درختی توجه زیادی به پلیمرهای پرشاخه می‌شود پلیمرهای پرشاخه دارای ساختار متراکم، عدم گره‌خوردگی زنجیرها، تعداد زیاد گروه انتهایی و معماری مولکولی سه بعدی می‌باشند که سنتز آن‌ها نسبتاً آسان بوده و هزینه بر نمی‌باشند [۲، ۶-۸].

علاوه بر ماهیت و ساختار زنجیر اصلی<sup>۵</sup> خواص فیزیکی و شیمیایی پلیمرهای پرشاخه شدیداً به تعداد و نوع گروههای انتهایی وابسته می‌باشد، از این رو اصلاح شیمیایی گروههای انتهایی این امکان را فراهم می‌آورد تا بنا به کاربردی که مدنظر می‌باشد، بزرگ مولکولی با خواص مطلوب طراحی شود. اصلاح شیمیایی گروههای انتهایی می‌تواند به منظور تغییر در حلایت، واکنش‌پذیری، تغییر رفتار رئولوژیکی، تغییر در میزان قطبیت مولکول و غیره صورت بگیرد [۱۵-۹].

امروزه فناوری پلیمریزاسیون با نور به دلیل مزایای بسیار مانند این که این فناوری بدون حلal است، در مصرف انرژی بسیار صرفه‌جویی می‌کند، به طور کلی اقتصادی است و محصولات آن مقاومت به سایش و مقاومت شیمیایی بالایی دارند، به سرعت در حال رشد است.

1- Dendritic polymers

2- End groups

3- Poly-disperse

4- Mono-disperse

5- Backbone

## ۲- بخش تجربی

## ۱- موارد

پلیمر پرشاخه برایه پلی استرآمید با ۱۰ عدد گروه انتهایی هیدروکسیل، با نام تجاری Hybrane H1500 از شرکت DSM تهیه گردید. اسید اکریلیک، تولوئن، بنزوکینون، اسید کلریدریک و هیدروکسید کلسیم از شرکت مرک خریداری شدند. مونومر آکریلاتی <sup>۱</sup> TMPTA از شرکت اترنال <sup>۲</sup> تایوان خریداری شد. اتر نفت و پاراتولوئن سولفونیک اسید <sup>۳</sup> از نوع تجاری مورد استفاده قرار گرفت که به ترتیب از شرکت‌های فرآورشیمی تاو و کیمیا تهران اسید خریداری گردید. جهت خالص‌سازی p-TSA از روش نوبلوشدن مجدد در اسید کلریدریک استفاده شد [۲۰]. در جدول ۱ خواص مهم مواد مورد استفاده در این این تحقیق ذکر شده است.

جدول ۱: ویژگی‌های مواد مورد استفاده.

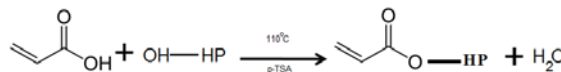
نام ماده	ساختار شیمیایی	جرم مولکولی (g/mol)	نقطه ذوب (°C)	نقطه جوش (°C)
H 1500		۱۵۰۰	-	۱۴۱
اسید اکریلیک		۷۲	۱۴	-
تولوئن		۹۲	-۹۵	۱۱۱
بنزوکینون		۱۰۸	۱۱۵	-
هیدروکسید کلسیم		۷۴	۵۸۰	-
TMPTA		۲۹۴	-۲۰<	۳۹۰>
اتر نفت مایع		-	-	-
p-TSA		۱۷۲	۳۸	۱۴۰

1- Trimethylolpropane triacrylate

2- Eternal

3- p-TSA

در این تحقیق با اصلاح پلیمر پرشاخه به کمک اسید اکریلیک و به وسیله واکنش استری شدن، HP1 به یک ماده با گروه عاملی اکریلاتی تبدیل می‌شود. واکنش استری شدن در شکل ۲ نشان داده شده است.



شکل ۲: واکنش استری شدن پلیمر پرشاخه هیدروکسیلدار با گروه کربوکسیلیک اسید اکریلیک.

مطابق روندی که در بخش آزمایشگاهی ذکر شد، پلیمرهای HP2 و HP3 تهیه شدن و مورد شناسایی قرار گرفتند. در شکل ۳ طیف زیر قرمز هر سه ماده آورده شده است. گروه عاملی هیدروکسیل با پیوند هیدروژنی در محدوده فرکانس  $3200\text{-}3500\text{ cm}^{-1}$  پیکی پهنه با شدت متوسط دارد. گروه کربونیل استری در محدوده فرکانس  $1750\text{-}1780\text{ cm}^{-1}$  پیکی با شدت قوی می‌دهد. گروه کربونیل آمیدی در محدوده فرکانس  $1670\text{-}1640\text{ cm}^{-1}$  پیک می‌دهد و از آنجایی که این گروه عاملی در ساختار اصلی پلیمر قرار دارد وارد واکنش نمی‌شود، به عنوان پیک مرجع در نظر گرفته شده است [۲۲]. همان‌طور که شکل ۳ نشان می‌دهد، گروه‌های هیدروکسیل در پلیمرهای اصلاح شده یعنی HP2 و HP3 در مقایسه با HP1، مصرف شده‌اند و در عوض گروه‌های استری تشکیل شده‌اند، که مشاهده این امر موید انجام واکنش استری شدن می‌باشد.

رابطه ۱، نحوه محاسبه میزان تبدیل را بیان می‌کند:

$$\frac{A - B}{A} \times 100 = \text{درصد تبدیل} \quad (1)$$

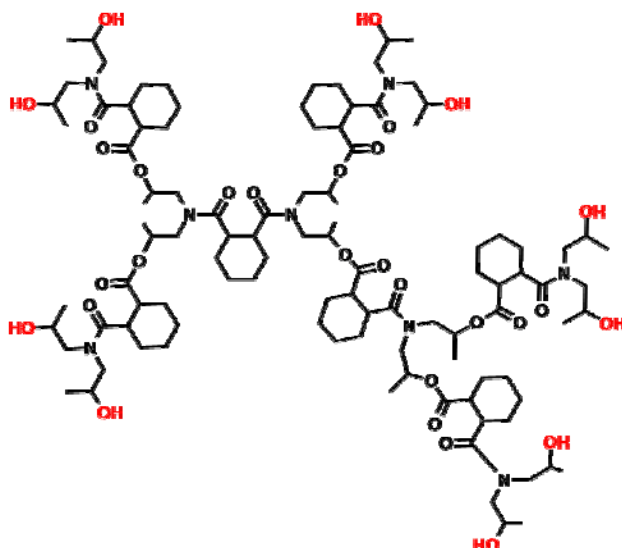
که در آن A میزان گروه‌های قابل واکنش پیش از انجام واکنش و میزان گروه‌های باقی‌مانده پس از پایان واکنش می‌باشند. مساحت منحنی نرمال شده برای گروه هیدروکسیل تخمینی از میزان گروه هیدروکسیل موجود در ماده می‌باشد. بر این اساس درصد تبدیل برای HP2 نزدیک ۴۰٪ و برای HP3 نزدیک به ۶۵٪ می‌باشد. این تفاوت در درصد تبدیل، از تفاوت در زمان واکنش و میزان اسید اکریلیک اضافی ناشی می‌شود. در مسیر واکنش دهی HP3 نسبت به HP2 اسید اکریلیک آزاد بیشتری وجود دارد و همچنین واکنش‌دهنده‌ها زمان بیشتری در معرض هستند. درنتیجه امکان جایگزینی گروه هیدروکسیل با اسید اکریلیک در مسیر HP3 نسبت به HP2 بیشتر می‌باشد و همان‌طور که انتظار می‌رفت طیف زیر قرمز نمونه‌ها مovid این امر می‌باشد. در جدول ۲ به طور خلاصه ویژگی نمونه‌های ساخته شده ذکر شده است.

<sup>13</sup>C-NMR استفاده شد. نمونه‌ها در کلروفرم دوتره حل شدند و فرکانس دستگاه  $300\text{ MHz}$  انتخاب شد. این دستگاه مدل Avance 300 و ساخت شرکت آلمانی Bruker است.

به منظور بررسی و مقایسه رفتار گرمایی نمونه‌های اصلاح شده از آزمون گرماسنجی روشی تفاضلی استفاده شد. محدوده دمایی روش شده از دمای ۲۰ تا  $200^\circ\text{C}$  درجه سانتی‌گراد بود و سرعت گردشگری  $10^\circ\text{C}/\text{min}$  درجه سانتی‌گراد بر دقیقه بود. دستگاه DSC مورد استفاده در این تحقیق Pyris 6 DSC مدل PerkinElmer است. ساخت کشور امریکا بود. با استفاده از دستگاه رئومتر مدل MCR 300، ساخت شرکت Anton Paar کشور اتریش اندازه‌گیری‌های گرانبروی انجام شد. آزمون رئومتری در حالت هم محور و در دمای  $25^\circ\text{C}$  در محدوده فرکانس  $1\text{-}100\text{ rad/s}$  یک واحد ثانیه انجام شد. جهت آماده سازی نمونه‌ها، پلیمرهای پرشاخه‌ی HP1، HP2 و HP3 به میزان ۵٪ در مونومر آکریلاتی TMPTA حل شدند و گرانبروی آنها بررسی گردید.

### ۳- نتایج و بحث

پلیمر اصلاح نشده HP1 دارای ساختار پلی استرآمیدی با گروه‌های انتها ی هیدروکسیل نوع دوم می‌باشد. به طور متوسط  $10^\circ\text{C}$  گروه عاملی واکنش پذیر بر روی این پلیمر قرار دارد. ساختار شیمیایی این پلیمر در شکل ۱ نشان داده شده است. گروه‌های عاملی واکنش پذیر و در دسترس این پلیمر، این امکان را فراهم می‌آورند تا در واکنش‌های ثانویه شرکت بکند و بتوان معماری مولکولی دلخواهی برای این پلیمر طراحی کرد.



شکل ۱: ساختار شیمیایی HP1.

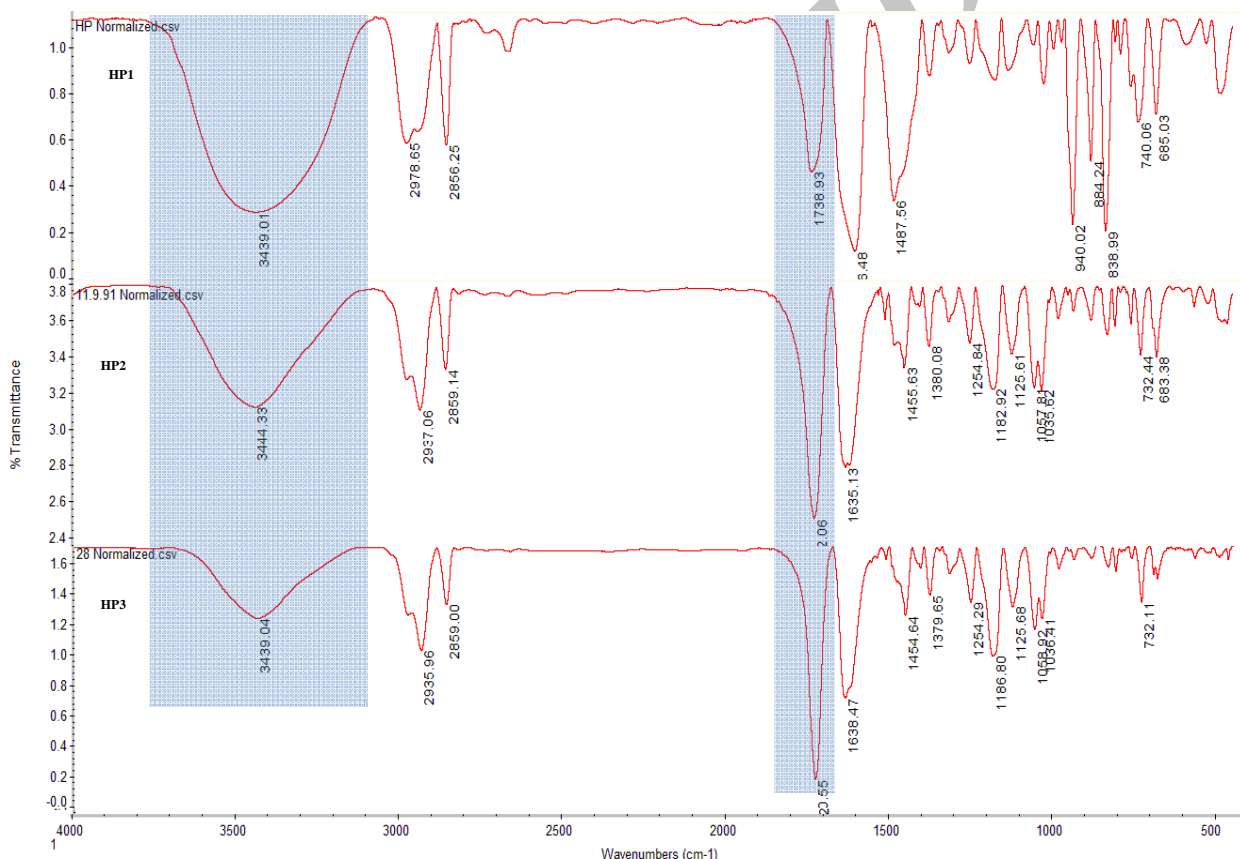
<sup>1</sup>H-NMR و <sup>13</sup>C-NMR استفاده شد. نتایج این آزمون در نمودارهای شکل‌های ۴ و ۵ داده شده است. همان‌طور که از مقایسه نمودارها مشخص است، پیک‌های c، d و e در شکل ۵ نشان می‌دهند که تعدادی از گروه‌های هیدروکسیل به وسیله واکنش استری شدن توسط اسید اکریلیک جایگزین شده‌اند. این پیک‌ها نشان‌دهنده هیدروژن‌های متصل به پیوند دوگانه کربن اسید اکریلیک می‌باشد.

جهت حصول اطمینان بیشتر، طیف <sup>13</sup>C-NMR برای HP1 و HP2 مورد بررسی قرار گرفت، شکل ۶ حضور پیوند دوگانه کربن-کربن پس از اصلاح سطحی را تایید می‌کند. پیک a در شکل ۶ قبل از اصلاح سطحی وجود ندارد و پس از اصلاح سطحی پدیدار می‌شود که این پیک به پیوند دوگانه گروه اکریلیک نسبت داده می‌شود.

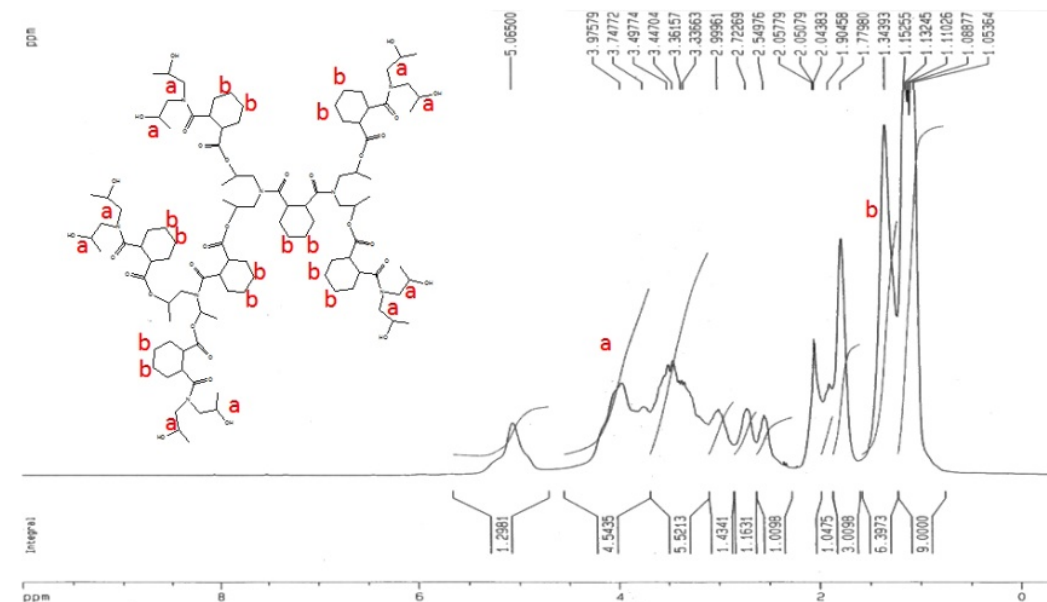
جدول ۲: مشخصات نمونه‌های ساخته شده.

نام پلیمر	میزان تبدیل	متوجه تعداد	متوجه هیدروکسیل	گروه‌های هیدروکسیل	پرشاخه هیدروکسیل (%)
	هر مولکول	هر مولکول	هر مولکول	هر مولکول	
.	.	۱۰	.	.	HP1
۴	۶	۶	۴۰	۴۰	HP2
۶,۵	۳,۵	۳,۵	۶۵	۶۵	HP3

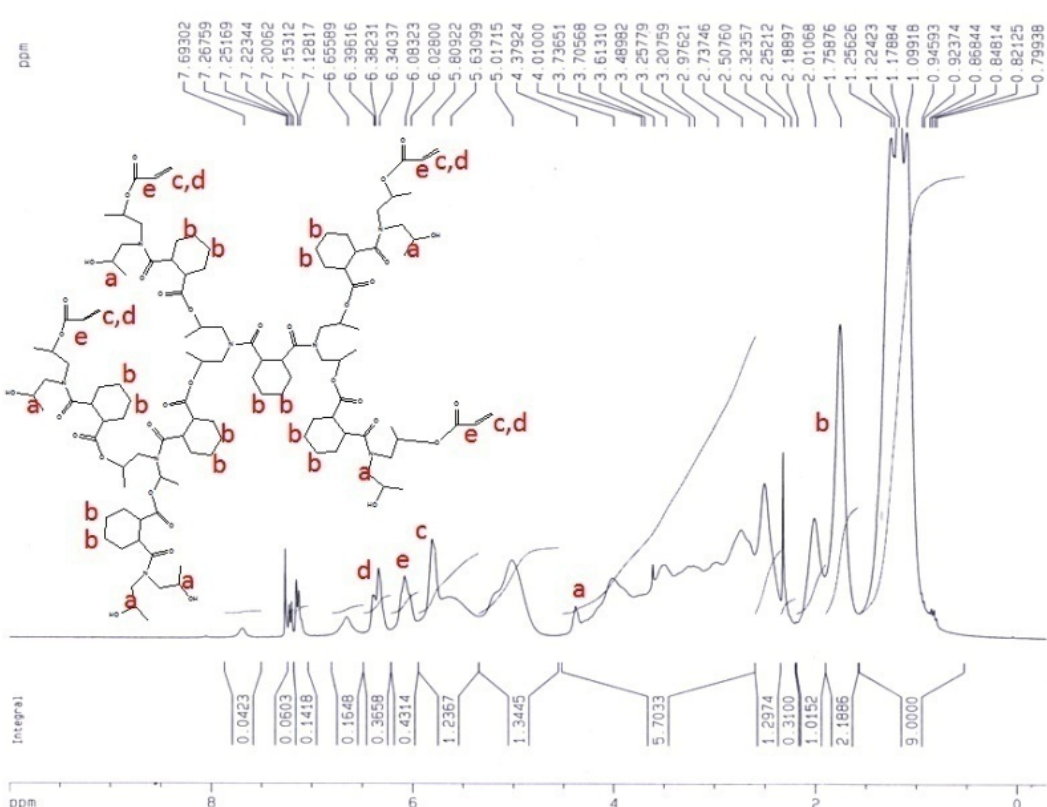
جهت شناسایی دقیق‌تر و بررسی ساختار شیمیایی HP1 و نمونه اصلاح شده HP2 از آزمون طیف‌سنجی رزونانس مغناطیس هسته‌ای



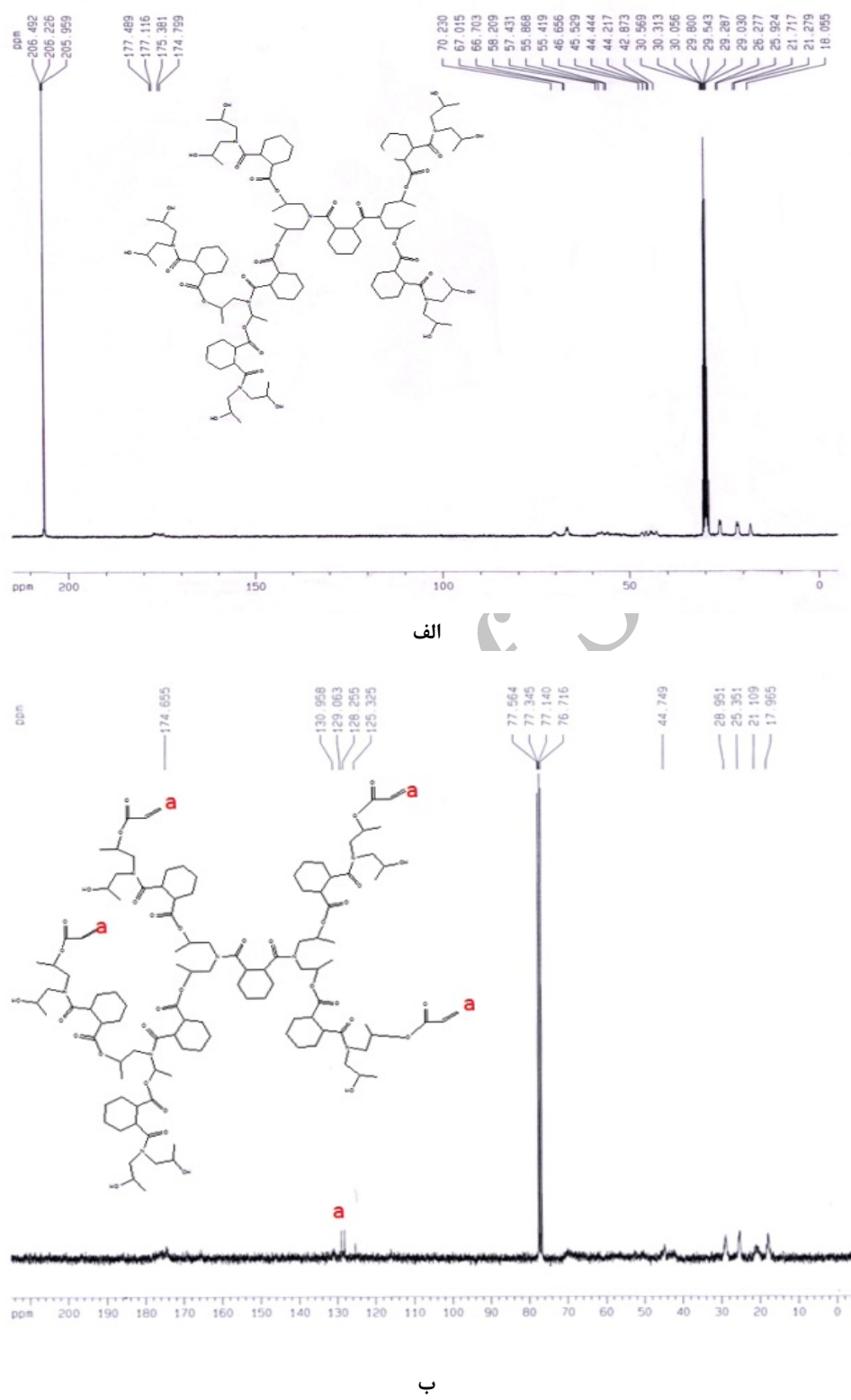
شکل ۳: طیف FT-IR پلیمرهای پرشاخه HP1، HP2 و HP3.



شکل ۴: طیف  $^1\text{H-NMR}$  برای نمونه HP1.



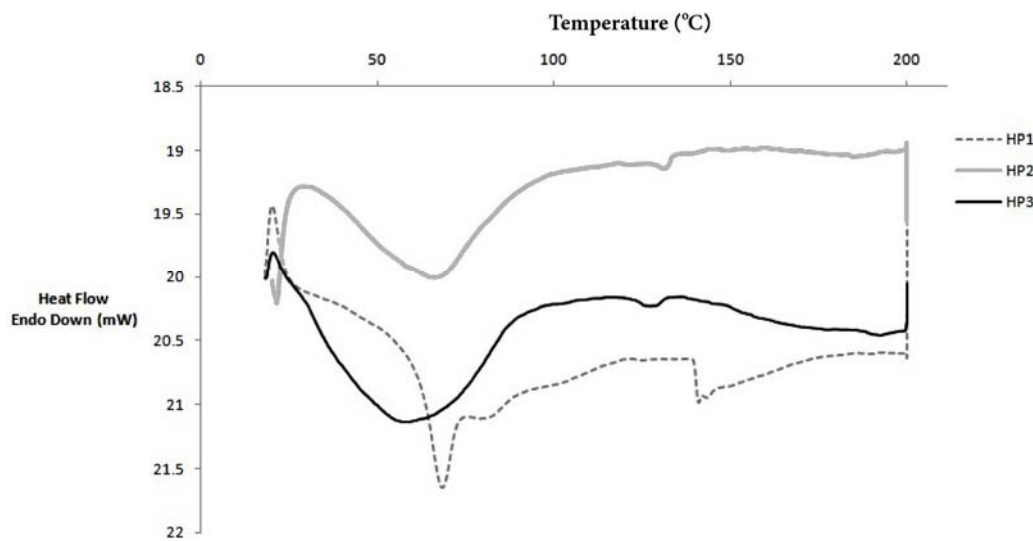
شکل ۵: طیف  $^1\text{H-NMR}$  برای نمونه HP2



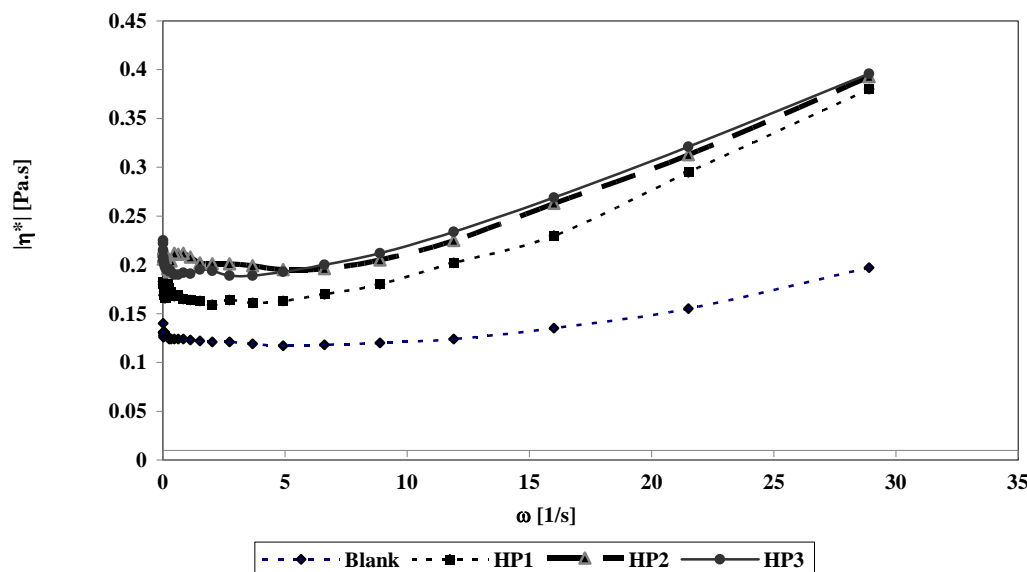
شکل ۶: طیف <sup>13</sup>C-NMR برای نمونه‌های HP1 (الف) و HP2 (ب).

گرائزروی پلیمرهای پرشاخه در بستر مونومری قابل پخت با پرتو فرابنفش و همچنین تایید حفظ معماری مولکولی پلیمر پرشاخه، بررسی گرائزروی نمونه‌ها صورت پذیرفت. نمودار شکل ۸ گرائزروی نمونه‌های حاوی ۵٪ وزنی پلیمر پرشاخه در مونومر آکریلاتی TMPTA و گرائزروی خود مونومر را بر حسب فرکانس اعمال برش،<sup>۵</sup> نشان می‌دهد. همان طور که مشاهده می‌شود گرائزروی همه نمونه‌ها رفتار یکسانی در برابر فرکانس نشان می‌دهد. در فرکانس‌های پایین، گرائزروی تابعیتی از فرکانس ندارد. این مشخصه سیال‌های نیوتونی می‌باشد و همه نمونه‌ها در فرکانس‌های بالا کمی رفتار غلیظشوندگی نشان می‌دهند. حفظ رفتار رئولوژیکی نمونه‌ها پس از افزودن پلیمرهای پرشاخه موبید عدم گره‌خوردگی زنجیرها و شکل فشرده و کروی پلیمرهای پرشاخه و در نتیجه حفظ معماری مولکولی پس از اصلاح می‌باشد [۲۴، ۲۵]. افزایش جزئی گرائزروی نمونه‌های حاوی پلیمرهای پرشاخه را می‌توان به اضافه کردن پلیمری با وزن مولکولی نزدیک به ۱۵۰۰ گرم بر مول به مونومری با وزن مولکولی ۲۹۴ گرم بر مول نسبت داد. گرائزروی بالاتر نمونه‌های حاوی پلیمرهای پرشاخه اصلاح شده نسبت به نمونه HP1 می‌تواند ناشی از دو مساله باشد. اول اینکه پس از اصلاح HP1 مقداری جزئی جرم مولکولی افزایش یافته است و دوم اینکه به دلیل از بین رفتان تعداد زیادی از گروههای هیدروکسیل و جایگزین شدن گروههای آکریلاتی، برهم‌کنش بین مولکولی تغییر کرده، به این نحو که وجود گروههای آکریلاتی به جای هیدروکسیل در بستر حاوی مونومرهای آکریلاتی برهم‌کنش مولکولی بسترهای پلیمر پرشاخه را افزایش می‌دهد و باعث افزایش گرائزروی می‌شود. تفاوت چشمگیری بین گرائزروی نمونه HP2 و HP3 مشاهده نمی‌شود.

به منظور مقایسه نمونه‌های اصلاح شده نمودار DSC مربوط به هریک از آنها در شکل ۷ آورده شده است. همان طور که در شکل ۷ مشخص است، به دلیل توزیع پهن جرم مولکولی پلیمرهای پرشاخه، گذار مربوط به نقطه ذوب پلیمرها در بازه وسیعی اتفاق افتاده است. به منظور مقایسه اگر قله پیک گرمایگر برای هر نمونه به عنوان شاخصی از نقطه ذوب در نظر گرفته شود، با افزایش میزان اصلاح و جایگزینی گروههای هیدروکسیل، کاهش نقطه ذوب مشاهده می‌شود. مطابق شکل ۷ قله پیک برای نمونه‌های HP1، HP2 و HP3 به ترتیب ۶۴، ۶۰ و ۶۴ درجه سانتی گراد می‌باشد. حضور هرچه بیشتر گروههای هیدروکسیل بر روی پلیمر موجب ایجاد پیوند هیدروژنی بین مولکولی می‌شود و اصلاح پلیمرهای پرشاخه و در نتیجه جایگزینی گروههای هیدروکسیل توسط گروه آکریلات باعث می‌شود پیوند هیدروژنی ضعیف شده، جای خود را به پیوندهای ضعیف‌تر بین مولکولی بدهد. در نتیجه هر چه میزان اصلاح سطحی افزایش بیان نقطه ذوب کاهش یافته است. این رفتار گرمایی تاییدکننده اصلاح صورت گرفته بر روی پلیمر پرشاخه می‌باشد. پر واضح است که نتایج به دست آمده از هر سه آزمون در راستای یکدیگر بوده، اصلاح و جایگزینی بخشی از گروههای هیدروکسیل با گروههای اسید اکریلیک را تایید می‌نمایند. گرائزروی در پلیمرها به کشن دینامیک مولکول‌ها، چگالی سگمنت‌ها در حجم مشخصی از مولکول و گره‌خوردگی زنجیرهای بین مولکولی و برهم‌کنش‌های بین مولکولی بستگی پیدا می‌کند. تفاوت ساختاری‌ای که در پلیمرهای پرشاخه نسبت به پلیمرهای خطی وجود دارد، در این است که برخلاف پلیمرهای خطی، پلیمرهای پرشاخه دچار گره‌خوردگی زنجیرها نمی‌شوند و دارای ساختاری کاملاً فشرده هستند [۲۳، ۲۴]. به منظور بررسی اثر اصلاح سطحی بر روی



شکل ۷: نمودار DSC پلیمرهای پرشاخه.



شکل ۸: نمودار گرانزوی بر حسب فرکانس اعمال برش برای نمونههای حاوی ۰.۵٪ وزنی پلیمر پرشاخه در مونومر آکریلاتی TMPTA.

پلیمرها در مونومر TMPTA که مونومری رایج در فرمولاسیون‌های تابش‌پز می‌باشد حل شده و امتصاف پذیری آنها مشاهده گردید. بررسی گرانزوی این محلول‌ها مovid عدم گره‌خوردگی زنجیرها و دارا بودن ساختار کروی و فشرده پلیمرهای پرشاخه می‌باشد. اصلاح این پلیمر باعث شد تا به دلیل افزایش جزئی وزن مولکولی و همچنین تغییر برهم‌کنش‌های بین مولکولی، گرانزوی کمی افزایش یابد.

#### ۴- نتیجه‌گیری

اصلاح پلیمر پرشاخه پلی استرآمیدی با گروه‌های انتهاهی هیدروکسیل از طریق واکنش استری شدن با اسید اکریلیک محقق شد. استفاده از آکریلیک اسید به میزان ۲۰٪ اضافه بر مقادیر استوکیومتری در زمان واکنش ۲ ساعت و استفاده از آکریلیک اسید به میزان ۳۰٪ اضافه بر مقادیر استوکیومتری و زمان واکنش ۴ ساعت به ترتیب میزان ۴۰ و ۶۵٪ از گروه‌های هیدروکسیل را با گروه آکریلات اصلاح می‌کند.

#### ۵- مراجع

- M. Sangermano, G. Malucelli, R. Bongiovanni, A. Priola, A. Harden, Investigation on the effect of the presence of hyperbranched polymers on thermal and mechanical properties of an epoxy UV-cured system. *Polymer Int.* 54(2005), 917-921.
- Fréchet, D. Tomalia, Dendrimers and other Dendritic Polymers, John Wiley & Sons Ltd. 2001.
- K. Han, Study on hyperbranched polyesters as rheological modifier for Spandex spinning solution. *Polym. Int.* 55(2006), 898-903.
- F. Bao, W. Shi, Synthesis and properties of hyperbranched polyurethane acrylate used for UV curing coatings. *Prog. Org. Coat.* 68(2010), 334-339.
- G. Xu, W. Shi, Synthesis and characterization of hyperbranched polyurethane acrylates used as UV curable oligomers for coatings. *Prog. Org. Coat.* 52(2005), 110-117.
- S. Irfan, Encapsulation using hyperbranched polymers: From research and technologies to emerging applications. *Ind. Eng. Chem. Res.* 49(2010), 1169-1196.
- M. Ganjaee Sari, Investigating the enhancement of polypropylene dyeability by the use of nanostructured dendritic polymers, PhD Dissertation, Polymer and Color Engineering Department, Amirkabir University of Technology, Tehran, 2011.
- C. Gao, D. Yan, Hyperbranched polymers: From synthesis to applications. *Prog. Polymer Sci.* 29(2004), 183-275.
- E. S. Džunuzović, S. V. Tasić, B. R. Božić, J. V. Džunuzović, B. M. Dunjić, K. B. Jeremić, Mechanical and thermal properties of UV cured mixtures of linear and hyperbranched urethane acrylates. *Prog. Org. Coat.* 74(2012), 158-164.
- M. Scholl, Dendritic and hyperbranched polyamides. *Prog. Polymer Sci.* 34(2009), 24-61.
- D. Thomasson, Hydroxylated hyperbranched polyesters as crosslinking agents for polyurethane networks: Partial modification of the OH chain ends. *React. Funct. Polym.* 66(2006), 1462-1481.
- S. Boye, Solution properties of selectively modified hyperbranched polyesters. *Polym.* 51(2010), 4110-4120.
- A. Karakaya, Synthesis of oil based hyperbranched resins and their modification with melamine-formaldehyde resin.

- Prog. Org. Coat.* 59(2007), 265-273.
14. S. Gregorowicz, Phase behaviour of hyperbranched polyesters and polyethers with modified terminal OH groups in supercritical solvents. *J. Supercrit. Fluids.* 55(2010), 786-796.
  15. E. Dzunuzovic, Photoreactive hyperbranched urethane acrylates modified with a branched saturated fatty acid. *React. Funct. Polym.* 66(2006), 1097-1105.
  16. E. Andrzejewska, "Photopolymerization kinetics of multifunctional monomers. *Prog. Polym. Sci.* 26(2001), 605-665.
  17. J. Koleske, Radiation Curing of Coatings. ASTM International. 2002.
  18. R. Schwalm, UV coatings: Basics, recent developments and new applications. 2007.
  19. E. Dzunuzovic, S. Tasic, B. Bozic, D. Babic, B. Dunjic, UV-curable hyperbranched urethane acrylate oligomers containing soybean fatty acids. *Prog. Org. Coat.* 52(2005), 136-143.
  20. L. Armarego, 2003, Purification of laboratory chemicals.
  21. S. Simić, B. Dunjić, S. Tasić, B. Božić, D. Jovanović, I. Popović, Synthesis and characterization of interpenetrating polymer networks with hyperbranched polymers through thermal-UV dual curing. *Prog. Org. Coat.* 6(2008), 43-48.
  22. D. Pavia, Introduction to spectroscopy. Brooks/Cole, 2009.
  23. H. Wei, Y. Lu, W. Shi, H. Yuan, Y. Chen, UV curing behavior of methacrylated hyperbranched poly(amine-ester)s. *J. Appl. Polym. Sci.* 80(2001), 51-57.
  24. G. He, J. Yang, X. Zheng, Q. Wu, L. Guo, M. Zhang, X. Chen, Entanglement and phase separation in hyperbranched polymer/linear polymer/solvent ternary blends. *Polymer Testing*, 31(2012), 182-190.
  25. Suneel, D. M. A. Buzz, D. J. Groves, T. C. B. McLeish, D. Parker, A. J. Keeney, W. J. Feast, Rheology and Molecular Weight Distribution of Hyperbranched Polymers. *Macromolecules*. 35(2002), 9605-9612.